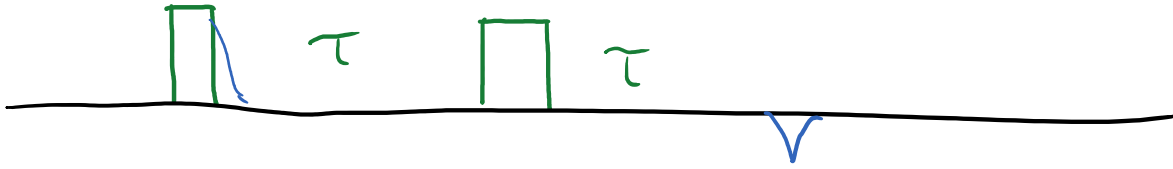


# Spin-Echos (Basic)

Monday, December 18, 2017 3:56 PM

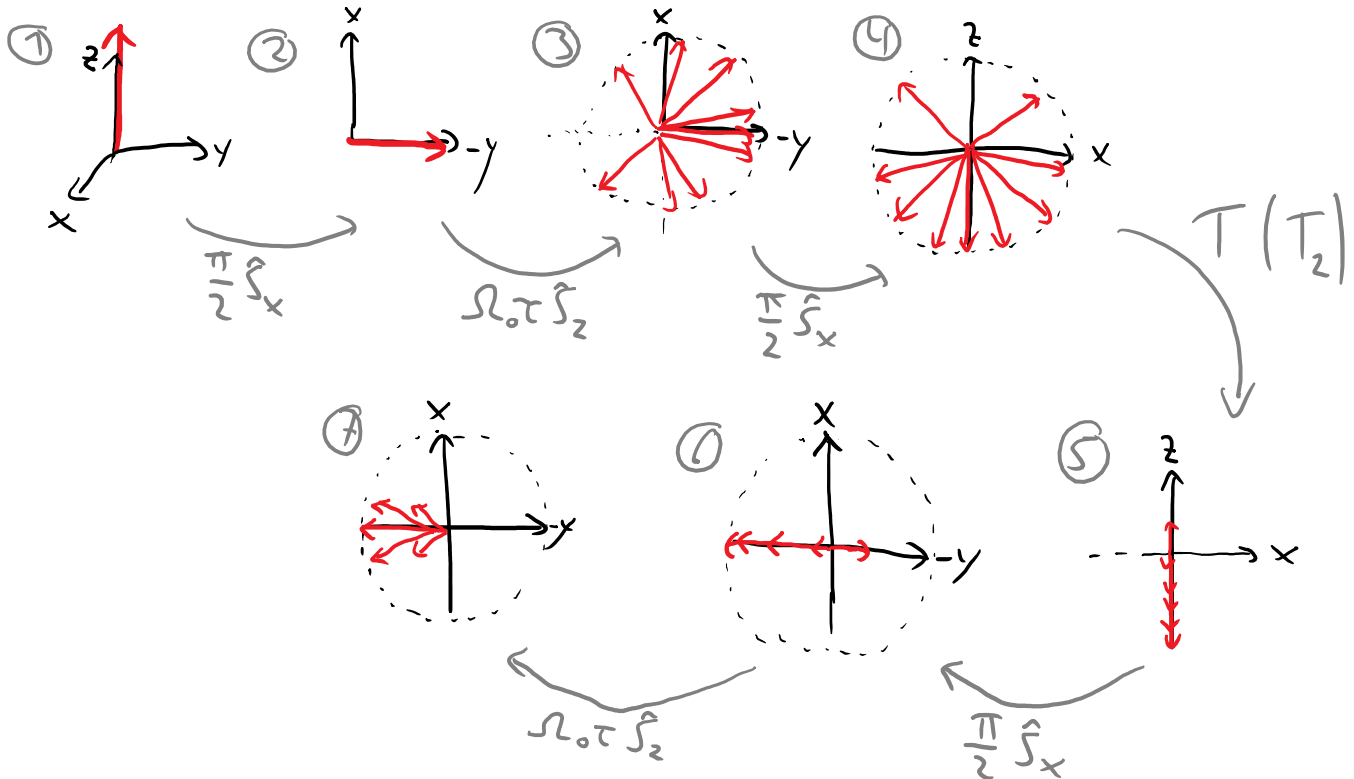
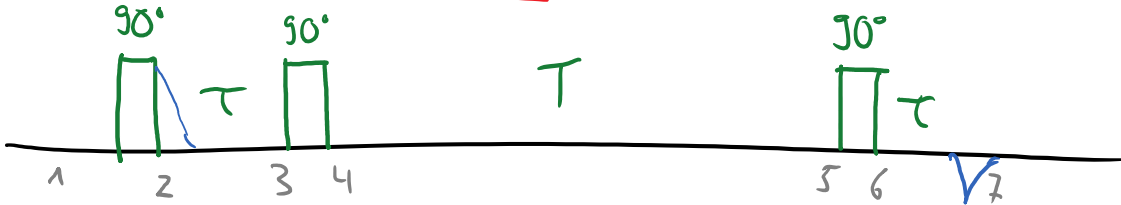
## Hahn-Echo: (2 Puls-Echo) $\frac{\pi}{2} - \tau - \pi - \tau$



- refokussiert: Zeeman-Offset, Hyperfein-WW
- refokussiert nicht: e-e-WW (wenn beide e-Spins durch Puls angeregt)

$\Rightarrow$  Echo zerfällt mit Phasengedächtniszeit  $T_m$   
für isolierte Elektronenspins:  $T_m \approx T_2$

## Stimuliertes Echo (3-Puls-Echo): $\frac{\pi}{2} - \tau - \frac{\pi}{2} - T - \frac{\pi}{2} - \tau$

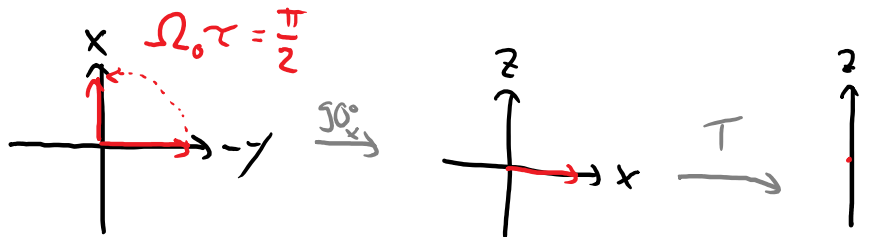


# Stimuliertes Echo:

Vorteil: Phasengedächtnis wird als  $M_z$  gespeichert ("Polarization-Grating")

→ Phasengedächtnis geht mit  $T_1$  verloren statt mit  $T_2$

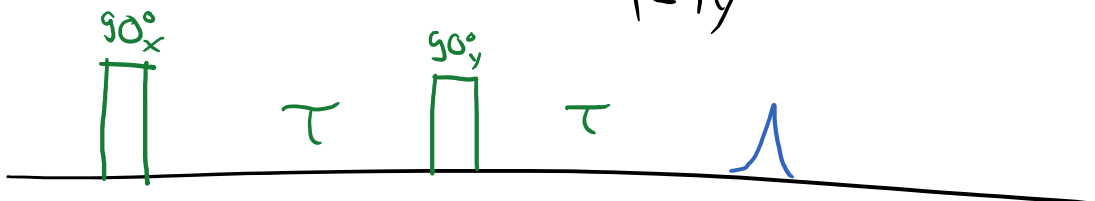
Nachteil: kleineres Echo und "Blind-Spots" durch Projektion von  $\vec{M}$  in x-z-Ebene auf z-Achse



→ Blind-Spots bei

$$\Omega_0 = \frac{n \cdot \pi}{2\tau}$$

Solid Echo :  $\left(\frac{\pi}{2}\right)_x - \tau - \left(\frac{\pi}{2}\right)_y - \tau$



- refokussiert: e-e Kopplung, Nullfeldaufspaltung
- refokussiert nicht (vollständig): Zeeman-Offset, Hyperfein-WW

Formalismus zur Beschreibung der Evolution des Spin-Systems.

Ausgangszustand  $\xrightarrow{\text{Operator}}$  Endzustand

Bsp.:  $\hat{S}_z \xrightarrow{\frac{\pi}{2} \hat{S}_x} -\hat{S}_y$

$\hat{S}_x \xrightarrow{\Omega_0 t \hat{S}_z} \hat{S}_x \cos(\Omega_0 t) + \hat{S}_y \sin(\Omega_0 t)$

Mathematisch ausführlich:

Zustand durch Dichtematrix beschrieben

Dichtematrix enthält QM Zustand des Systems

→ Erwartungswerte

$\rho(t) = |\psi(t)\rangle \langle \psi(t)|$  äußeres Produkt

$\Rightarrow \langle \hat{O} \rangle = \langle \psi | \hat{O} | \psi \rangle = \text{Tr}(\hat{O} \rho)$

Summe der Diagonalelemente

$\rho = \begin{pmatrix} \text{Kohärenzen} \\ \text{Populationen} \\ \text{Kohärenzen} \end{pmatrix}$

Diagonalelemente: Wahrscheinlichkeit der Besetzung von QM Zustand

Nicht-diagonalelemente: Evolution der kohärenten Superpositionen

Praktisch:  $\rho$  als Superposition von Spin-Operatoren

1-Spin:  $\rho(t) = a(t) \hat{S}_x + b(t) \hat{S}_y + c(t) \hat{S}_z$

2-Spin:  $\rho(t) = \dots + g(t) \hat{S}_x \hat{I}_x + h(t) \hat{S}_x \hat{I}_y + \dots$

3-Spin:  $\rho(t) = \dots + k(t) \hat{S}_{1x} \hat{S}_{2x} \hat{I}_x + \dots$

Propagation der Dichtematrix:

$$\rho(t) = U \rho(0) U^{-1}$$

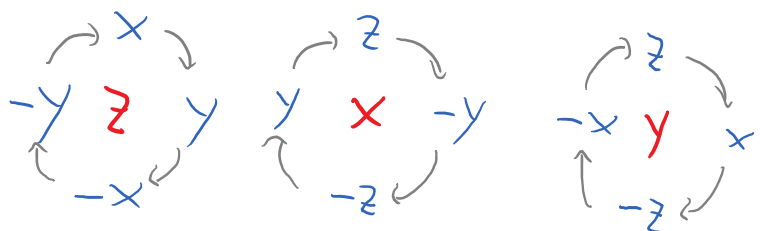
$U = e^{-i\hat{H}t}$   
 unitäre Transformationsmatrix  
 $\rightarrow$  Rotation

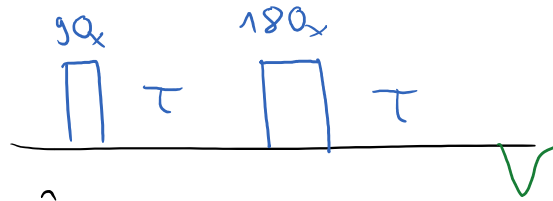
generell:  $e^{-i\varphi \hat{S}_k} \hat{O} e^{+i\varphi \hat{S}_k} = \hat{O} \cos \varphi - i [\hat{S}_k, \hat{O}] \sin \varphi$

Bsp.:

$$\begin{aligned} e^{-i\Omega_0 t \hat{S}_z} \hat{S}_x e^{+i\Omega_0 t \hat{S}_z} &= \hat{S}_x \cos \Omega_0 t - i [\hat{S}_z, \hat{S}_x] \sin \Omega_0 t \\ &= \hat{S}_x \cos \Omega_0 t - i \cdot i \hat{S}_y \sin \Omega_0 t \\ &= \hat{S}_x \cos \Omega_0 t + \hat{S}_y \sin \Omega_0 t \end{aligned}$$

Kommutator-Kreise:



Hahn-Echo

$$1 \text{ Spin: } \hat{H} = -\Omega_0 \hat{S}_z$$

$$\hat{S}_z \xrightarrow{\frac{\pi}{2} \hat{S}_x} -\hat{S}_y \xrightarrow{\Omega_0 \tau \hat{S}_z} -\hat{S}_y \cos(\Omega_0 \tau) + \hat{S}_x \sin(\Omega_0 \tau)$$

$$\downarrow \pi \hat{S}_x$$

$$+\hat{S}_y \cos(\Omega_0 \tau) + \hat{S}_x \sin(\Omega_0 \tau)$$

$$\downarrow \Omega_0 \tau \hat{S}_z$$

$$+\hat{S}_y \cos^2(\Omega_0 \tau) - \hat{S}_x \cos(\Omega_0 \tau) \sin(\Omega_0 \tau)$$

$$+ \hat{S}_x \sin(\Omega_0 \tau) \cos(\Omega_0 \tau) + \hat{S}_y \sin^2(\Omega_0 \tau)$$

$$= \hat{S}_y [\cos^2(\Omega_0 \tau) + \sin^2(\Omega_0 \tau)] = \hat{S}_y$$

$\Rightarrow$  alle Spin-Pakete evolvieren zu  $\hat{S}_y$ ,  
unabhängig von  $\Omega_0$ , nach  $\tau$

## Stimuliertes Echo



1 Spin:  $\hat{H}_0 = \Omega_0 \hat{S}_z$

$$\hat{S}_z \xrightarrow{\frac{\pi}{2} \hat{S}_x} -\hat{S}_y \xrightarrow{\Omega_0 \tau \hat{S}_z} -\hat{S}_y \cos(\Omega_0 \tau) + \hat{S}_x \sin(\Omega_0 \tau)$$

$$-\hat{S}_2 \cos(\Omega_0 \tau) \xleftarrow{T \gg T_2} -\hat{S}_2 \cos(\Omega_0 \tau) + \hat{S}_x \sin(\Omega_0 \tau)$$

$$\hat{S}_y \cos(\Omega_0 \tau) \xrightarrow{\Omega_0 \tau \hat{S}_z} \hat{S}_y \cos^2(\Omega_0 \tau) - \frac{1}{2} \hat{S}_x \sin(2\Omega_0 \tau)$$

$$\int_{-\infty}^{+\infty} \cos^2(\Omega_0 \tau) d\Omega_0 = \frac{1}{2} \int_{-\infty}^{+\infty} 1 d\Omega_0$$

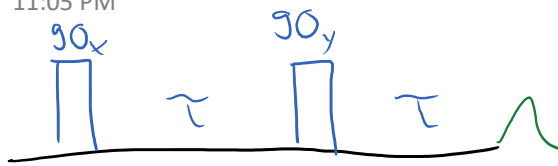
⇒ Stimulated Echo max. 50% der Intensität von Hahn-Echo

# Solid Echo (POF)

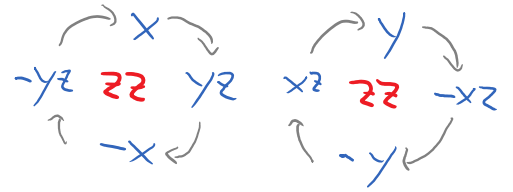
Monday, December 18, 2017

11:05 PM

## Solid Echo



2-Spin:  $\hat{H}_0 = \omega_{ee} \hat{S}_{1z} \hat{S}_{2z}$



$$\hat{S}_{1z} + \hat{S}_{2z} \xrightarrow{\frac{\pi}{2} (\hat{S}_{1x} + \hat{S}_{2x})} -\hat{S}_{1y} - \hat{S}_{2y}$$

$$\begin{aligned} \xrightarrow{\omega_{ee} t \hat{S}_{1z} \hat{S}_{2z}} & -(\hat{S}_{1y} + \hat{S}_{2y}) \cos(\omega_{ee} t) \\ & + \underbrace{(\hat{S}_{1x} \hat{S}_{2z} + \hat{S}_{1z} \hat{S}_{2x})}_{\text{"Antiphase-Kohärenz"}} \sin(\omega_{ee} t) \end{aligned}$$

$$\begin{aligned} \xrightarrow{\frac{\pi}{2} (\hat{S}_{1y} + \hat{S}_{2y})} & -(\hat{S}_{1y} + \hat{S}_{2y}) \cos(\omega_{ee} t) \\ & - (\hat{S}_{1z} \hat{S}_{2x} + \hat{S}_{1x} \hat{S}_{2z}) \sin(\omega_{ee} t) \end{aligned}$$

$$\begin{aligned} \xrightarrow{\omega_{ee} t \hat{S}_{1z} \hat{S}_{2z}} & -(\hat{S}_{1y} + \hat{S}_{2y}) \cos^2(\omega_{ee} t) \\ & + \cancel{(\hat{S}_{1x} \hat{S}_{2z} + \hat{S}_{1z} \hat{S}_{2x}) \cos(\omega_{ee} t) \sin(\omega_{ee} t)} \\ & - \cancel{(\hat{S}_{1z} \hat{S}_{2x} + \hat{S}_{1x} \hat{S}_{2z}) \sin(\omega_{ee} t) \cos(\omega_{ee} t)} \\ & -(\hat{S}_{2y} + \hat{S}_{1y}) \sin^2(\omega_{ee} t) \\ & = \underline{\underline{-(\hat{S}_{1y} + \hat{S}_{2y})}} \text{ Echo!} \end{aligned}$$